

# 基于估计参数势函数法的欠定盲分离

付卫红, 李爱丽, 马丽芬, 黄 坤, 严 新

(西安电子科技大学综合业务网理论及关键技术国家重点实验室, 陕西 西安 710071)

**摘 要:** 针对  $k$  维子空间法尺度参数选择的盲目性, 提出了基于估计参数的势函数方法。首先根据观测信号估计出基准值  $r_1$ , 并根据基准值  $r_1$  选取势函数  $f$  的尺度参数  $\sigma_1$ , 由势函数  $f$  估计出聚类平面后, 根据聚类平面估计出基准值  $r_2$ , 根据基准值  $r_2$  选取势函数  $g$  的尺度参数  $\sigma_2$ , 并由势函数  $g$  估计出混合矩阵。该方法充分利用了观测信号的统计特性, 实验结果表明, 在无噪条件下, 该方法比改进前的方法在矩阵估计方面误差减小了 75%, 较其他方法误差减小了 1~2 个数量级; 在 16 dB 信噪比下, 该方法比改进前在矩阵估计精度上提高 8.7%, 源信号个数估计准确率提高了 1 倍。

**关键词:** 欠定盲源分离; 混合矩阵估计; 势函数; 基准值; 尺度参数

**中图分类号:** TN 911.7

**文献标志码:** A

**DOI:**10.3969/j.issn.1001-506X.2014.04.02

## Underdetermined blind separation based on potential function with estimated parameter's decreasing sequence

FU Wei-hong, LI Ai-li, MA Li-fen, HUANG Kun, YAN Xin

(State Key Lab of Integrated Service Networks, Xidian University, Xi'an 710071, China)

**Abstract:** A potential function method with estimated parameter is proposed for blindness of scale parameter selecting of  $k$ -dimensional subspace method. Firstly, the reference value  $r_1$  is estimated based on observed signals and the scale parameter  $\sigma_1$  for potential function  $f$  is estimated based on  $r_1$ . When cluster planes are estimated by  $f$ , the reference value  $r_2$  is estimated based on them and the scale parameter  $\sigma_2$  for potential function  $g$  is estimated based on  $r_2$ . Thus, we obtain the estimation of mixing matrix. This method makes full use of the statistical properties of observed signals. The experiment shows that this method is reduced by 75% in matrix estimation error than the method before improved and is reduced by 1-2 orders of magnitude compared with other methods when there is no noise; the estimated precision is 8.7% higher and the accuracy rate of the source's number estimation is twice higher.

**Keywords:** underdetermined blind separation; mixing matrix estimation; potential function; reference value; scale parameter

## 0 引 言

盲源分离<sup>[1-2]</sup>最早来源于鸡尾酒会问题。根据源信号和麦克风的数目可以将盲源分离分为非欠定(源信号数目小于或等于麦克风个数)和欠定(源信号数目大于麦克风个数)两种情况。目前非欠定情况下的盲分离技术已相当成熟, 而欠定盲分离仍然是一个全新的领域。

对于非充分稀疏情况下的欠定盲分离, 主要采用稀疏分量分析的方法。主要有  $k$  平面聚类算法( $k$ -plane 法)<sup>[3-7]</sup>、鲁棒竞争聚类算法(robust competitive agglomeration, RCA)<sup>[8-9]</sup>、非

负矩阵分解方法<sup>[10-11]</sup>和势函数法<sup>[12-13]</sup>。 $k$ -plane 方法是由  $k$  均值演化而来, 需要事先知道源信号的个数。RCA 算法综合了等级聚类和分割聚类算法的优点, 为了克服一般聚类算法对噪声或异常值比较灵敏的问题, RCA 算法中引入了鲁棒统计概念, 通过竞争聚类学习来调整聚类中心参数向量及其势。非负矩阵分解方法一般要求源信号和混合矩阵中的元素都为非负, 条件过于苛刻。势函数法在估计混合矩阵时, 不需要知道源信号的个数, 且算法比较简单, 因而受到了广泛的关注。

在势函数法中, 尺度参数对估计效果影响很大, 是个非

收稿日期:2013-04-08; 修回日期:2013-06-13; 网络优先出版日期:2013-12-19。

网络优先出版地址: <http://www.cnki.net/kcms/detail/11.2422.TN.20131219.1951.003.html>

基金项目: 国家自然科学基金(61201134, 61201135); 国家重大专项(2012ZX03001027-001); 中央高校基本科研业务费专项资金(72124669); 高等学校学科创新引智计划(B08038)资助课题

常重要的参数。文献[12]中的  $k$  维子空间法,实际上是一种势函数法。 $k$  维子空间法中,尺度参数的选取仅凭经验和实验选取,没有结合信号自身的特点,因而具有盲目性,导致估计精度不高。本文针对  $k$  维子空间法存在的问题,提出了基于估计参数的势函数方法,该方法中所用到的尺度参数是根据信号估计出来的,利用了信号自身的统计特性,使得矩阵估计更加精确。实验部分证明了该方法的有效性和优越性。

## 1 非充分稀疏欠定盲分离模型

考虑最简单的线性瞬时混合欠定盲分离,其数学模型可以表示为

$$x(t) = As(t) \quad (1)$$

式中,  $s(t) = [s_1(t), s_2(t), \dots, s_n(t)]^T$  为  $n$  维源信号矢量;  $x(t) = [x_1(t), x_2(t), \dots, x_m(t)]^T$  为  $m$  维观测信号矢量;  $A$  为  $m \times n$  的混合矩阵;  $t$  表示观测时刻,  $t = 1, \dots, T$ 。盲分离是指仅根据观测信号  $X$  来恢复出混合矩阵  $A$  和源信号  $S$ 。本文主要讨论由  $X$  来估计  $A$  的问题。当  $A$  估计出来后,  $S$  就不难求出。

对于欠定盲分离,目前主要是利用源信号的稀疏特性,采用稀疏分量分析的方法。信号的稀疏特性是指信号在绝大部分时刻取值为零,在少数时刻取值比较明显。根据源信号的稀疏度可以将欠定盲分离分为充分稀疏<sup>[14-15]</sup>(每一时刻最多有一个源信号起作用)和非充分稀疏<sup>[3-13]</sup>(每个时刻有不止一个源信号起作用)两种情况。两种情况下的盲分离有不同的聚类特性和分离方法。

非充分稀疏情况下,观测信号具有面聚类特性。假设每个时刻有  $k$  个源信号起作用( $1 < k \leq m-1$ ),则式(1)可写成如下形式

$$x(t) = a_{i_1} s_{i_1}(t) + \dots + a_{i_k} s_{i_k}(t) \quad (2)$$

式中,  $a_{i_k}$  为  $A$  的第  $i_k$  列,  $i_1, \dots, i_k \in \{1, 2, \dots, n\}$ 。  $A$  的各列线性无关,所以  $x(t)$  位于由  $a_{i_1}, a_{i_2}, \dots, a_{i_k}$  张成的超平面上,这样的超平面总共有  $C_n^k$  个。对于混合矩阵  $A$  中的每个列向量,其为  $C_n^{k-1}$  个聚类平面的交线。所以非充分稀疏欠定盲分离混合矩阵估计可以采用两步来得到:①估计聚类平面;②估计聚类平面的交线。交线即为混合矩阵列向量。以  $m=3, n=5, k=2$  为例,观测信号点分布如图1所示。

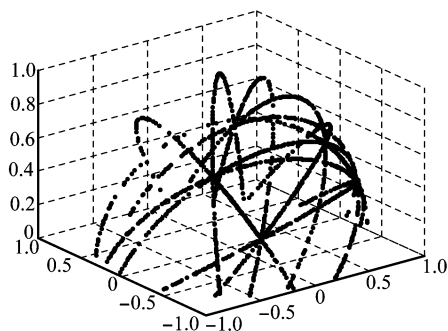


图1 观测信号散点图( $m=3, n=5, k=2$ )

## 2 基于估计参数势函数法的混合矩阵估计算法

文献[12]中提到  $k$  维子空间法,尺度参数的选取仅凭经验和实验选取,没有结合信号自身的特点,因而具有盲目性,导致估计精度不高。本文针对  $k$  维子空间法存在的问题,提出基于估计参数的势函数方法,该方法所用的尺度参数是根据观测信号估计出来的,利用了信号自身的统计特性。由非充分稀疏源信号聚类特性可知,混合矩阵估计分两步,聚类平面的估计和聚类平面交线的估计,下面分两部分对本文方法进行介绍。

### 2.1 基于估计参数势函数的聚类平面估计

假设  $B \subset \mathbf{R}^{m \times k}$  为聚类平面,定义式(3)的势函数为势函数  $f$ 。

$$f(B) = \sum_{t=1}^T \exp\left(-\frac{d^2(x(t), B)}{2\sigma_1^2}\right) \quad (3)$$

式中,  $d(x(t), B)$  表示  $x(t)$  到  $B$  的距离;  $\sigma_1$  为尺度参数。当  $x(t)$  属于聚类平面  $B$  时,  $d(x(t), B)$  取值接近于零,  $d^2(x(t), B)$  相对于分母  $2\sigma_1^2$  较小,  $\exp(-d^2(x(t), B)/2\sigma_1^2)$  取值接近于 1。当  $x(t)$  不属于聚类平面  $B$  时,  $d(x(t), B)$  取值较大,  $d^2(x(t), B)$  相对于分母  $2\sigma_1^2$  较大,则  $\exp(-d^2(x(t), B)/2\sigma_1^2)$  取值接近于 0。所以,  $f(B)$  的值反映了某个聚类平面聚集的观测信号点数。  $f(B)$  函数将在每个聚类平面处取得局部极大值。

聚类平面的估计精度主要依赖于尺度参数  $\sigma_1$  的选择,当  $\sigma_1$  较大时,  $f(B)$  曲线会比较平滑,甚至会失去一些局部极大值点,当  $\sigma_1$  较小时,在噪声的影响下,  $f(B)$  会产生一些错误的局部极大值点。对于  $\sigma_1$  的取值,这里首先根据观测信号进行估计得到基准值  $r_1$ ,估计方法如式(4)。

$$r_1 = \frac{1}{T} \sum_{t=1}^T \frac{1}{m} \sum_{i=1}^m |x_i(t) - u_{x(t)}| \quad (4)$$

式中,  $x_i(t)$  为  $x(t)$  的第  $i$  个元素;  $u_{x(t)}$  为  $x(t)$  中各元素的均值。根据  $\sigma_1$  取值对聚类平面估计效果的影响,采用逐渐逼近局部极大值的思想,比如,随机初始化  $B_0 \subset \mathbf{R}^{m \times k}$ ,先利用式(4)得到的  $r_1$  作为尺度参数,利用最优化方法得到  $f(B)$  的某个局部极大值  $B_1$ ,将  $B_1$  作为初始值,再选取  $r_1/2$  作为尺度参数,利用最优化方法得到  $f(B)$  的局部极大值  $B_2$ ,以此类推,最终得到聚类平面的准确估计。所以选择的尺度参数是以  $r_1$  为依据的下降序列,即  $\sigma_1 = [r_1, r_1/2, r_1/4, r_1/8]$ 。这样可减小尺度参数对估计效果的影响,得到更为精确的聚类平面估计。

当有噪声和异常值影响时,虽然采用了下降序列形式的尺度参数,仍然会有错误的局部极大值出现,但是这些局部极大值的势( $f(B)$ 值)比较小,所以可以通过设置门限将其筛掉。

下面是聚类平面估计的具体步骤:

步骤1 去除离原点较近的观测信号数据点,对观测信号点进行归一化。

步骤2 根据观测信号,由式(4)估计出 $r_1$ 。确定尺度参数 $\sigma_1$ , $\sigma_1=[r_1, r_1/2, r_1/4, r_1/8]$ , $\sigma_1$ 的长度为 $L$ ,本文算法仿真中取4。

步骤3 for  $j=1:K$ ( $K$ 为初始聚类平面个数, $K \gg C_n^k$ )。

步骤3.1 设 $i=1$ ,产生一随机正交化矩阵 $R_0$ 作为初始矩阵。

步骤3.2 令 $B_{j,i}^0=R_0$ , $j$ 表示第 $j$ 次求 $f(B)$ 的局部极大值, $i$ 即步骤3.1中的 $i$ ,表示势函数 $f(B)$ 中用到的尺度参数为 $\sigma_1(i)$ , $B_{j,i}^0$ 中上角标0表示 $B_{j,i}$ 的初始值。若不为0,则表示第 $d$ 次迭代得到的结果, $d$ 是迭代次数。

步骤3.3 利用最陡上升法求出使 $f(B_{j,i})$ 达到极大值的 $B_{j,i}$ 。即采用迭代的方法进行求解,其公式如下:

$$B_{j,i}^{d+1} = B_{j,i}^d + u \frac{\partial f(B_{j,i}^d)}{\partial B_{j,i}^d} \quad (5)$$

每次迭代后对得到的 $B_{j,i}^{d+1}$ 正交化。其中, $d$ 为迭代次数, $u$ 为步长, $B_{j,i}^d$ 表示第 $d$ 次迭代得到的 $B_{j,i}$ 。当满足 $d(B_{j,i}^{d+1}, B_{j,i}^d) < e_1$ 条件时,终止迭代,并令 $B_{j,i}^{\text{opt}} = B_{j,i}^d$ 。 $B_{j,i}^{\text{opt}}$ 表示第 $j$ 次最优 $f(B_{j,i})$ 时得到的最优解,且势函数中用到的尺度参数为 $\sigma_1(i)$ 。其中 $d(B_{j,i}^{d+1}, B_{j,i}^d)$ 表示两次迭代得到的平面间的夹角。 $e_1$ 为判决门限。

步骤3.4 如果 $i < L$ ,将步骤3.3中得到的 $B_{j,i}^{\text{opt}}$ 作为初始值,即 $R_0 = B_{j,i}^{\text{opt}}$ ,并对 $i$ 加1,回到步骤3.2;否则, $B_{j,i}^{\text{opt}} = B_{j,i}^{\text{opt}}$ ,并令 $j=j+1$ ,回到步骤3.1,这里 $B_{j,i}^{\text{opt}}$ 表示第 $j$ 次循环的最优解,即第 $j$ 次估计出的聚类平面。

步骤4 对于估计出的平面,若有重复平面,对重复平面进行去除。

步骤5 计算各个平面的势( $f(B_{j,i}^{\text{opt}})$ 值),将势相对较小的平面去掉。剩下的平面即为聚类平面的估计。

## 2.2 基于估计参数势函数的混合矩阵估计

由于第2.1节中已经求出了聚类平面,为了简化聚类平面交线的估计,先根据聚类平面求出聚类平面的法线 $z$ 。对于混合矩阵 $A$ 的某一列来说,它位于 $C_{n-1}^{k-1}$ 个超平面的交线上,即与 $A$ 的某一列垂直的法线向量总共有 $C_{n-1}^{k-1}$ 个,定义如式(6)的势函数为势函数 $g$ 。

$$g(v) = \sum_{j=1}^c \exp\left(-\frac{(v, z_j)^2}{2\sigma_2^2}\right) \quad (6)$$

式中, $z_j$ 为估计出的第 $j$ 个法线向量; $(v, z_j)$ 表示内积; $\sigma_2$ 为尺度参数; $c$ 为估计出的法线向量个数。此处 $\sigma_2$ 不同于第2.1节的 $\sigma_1$ 。 $(v, z_j)$ 的大小反应了 $v$ 和 $z_j$ 之间的夹角大小。当 $v$ 和 $z_j$ 垂直时, $(v, z_j)$ 接近于0,  $\exp(-(v, z_j)^2/2\sigma_2^2)$ 接近于1。当 $v$ 和 $z_j$ 不垂直时, $(v, z_j)$ 远大于0,  $\exp(-(v, z_j)^2/2\sigma_2^2)$ 接近于0。所以, $g(v)$ 反映了混合矩阵某个列向量占据的聚类平面个数。 $g(v)$ 在混合矩阵 $A$ 的各个列向量处取得局部极大值。

在聚类平面法线向量已知的情况下,混合矩阵列向量的估计精度主要依赖于尺度参数 $\sigma_2$ 。 $\sigma_2$ 取值较大时, $g(v)$ 曲线比较平滑,会失去一些极大值点, $\sigma_2$ 取值较小时,在噪声和异常值影响下, $g(v)$ 会产生一些错误的局部极大值。

对于 $\sigma_2$ 值的选取,我们首先根据第2.1节中估计出的法线向量估计得到基准值 $r_2$ ,估计方法如式(7)。

$$r_2 = \frac{1}{c} \sum_{j=1}^c \left( \frac{1}{m} \sum_{i=1}^m |z_j(i) - u_{z_j}| \right) \quad (7)$$

式中, $c$ 为估计出的法线向量个数; $z_j(i)$ 为第 $j$ 个法线向量的第 $i$ 个元素; $u_{z_j}$ 为 $z_j$ 向量各元素的均值。

$\sigma_2$ 对混合矩阵列向量估计效果的影响与 $\sigma_1$ 对聚类平面估计效果的影响机制相同,所以此处尺度参数的选择为以 $r_2$ 为基准的下降序列,即 $\sigma_2=[r_2, r_2/2, r_2/4, r_2/8]$ 。这样可以减小尺度参数对估计效果的影响,提高混合矩阵估计的精度。

当有噪声和异常值影响时,虽然采用了下降序列尺度参数,仍然会有错误的局部极大值出现,但是这些局部极大值的势( $g(v)$ 值)比较小,可以通过设置门限将其筛掉。

下面是混合矩阵列向量估计具体步骤:

步骤1 根据第2.1节中估计出的聚类平面法线向量,由式(7)估计 $r_2$ 。确定下降序列 $\sigma_2=[r_2, r_2/2, r_2/4, r_2/8]$ , $\sigma_2$ 的长度为 $L$ ,本文算法仿真中 $L$ 取4。

步骤2 for  $j=1:P$ ( $P$ 为初始混合矩阵列向量个数, $P \gg n$ )。

步骤2.1 设 $i=1$ ,产生一随机单位化向量 $q_0$ 。

步骤2.2 令 $v_{j,i}^0=q_0$ , $j$ 表示第 $j$ 次求 $g(v)$ 的局部极大值, $i$ 即步骤2.1中的 $i$ ,表示势函数 $g(v)$ 中用到的尺度参数为 $\sigma_2(i)$ , $v_{j,i}^0$ 中上角标0表示 $v_{j,i}$ 的初始值。若不为0,则表示第 $d$ 次迭代得到的结果, $d$ 是迭代次数。

步骤2.3 最陡上升法求出使 $g(v_{j,i})$ 达到极大值处的 $v_{j,i}$ 。即采用迭代的方法进行求解,其公式如下:

$$v_{j,i}^{d+1} = v_{j,i}^d + u \frac{\partial g(v_{j,i}^d)}{\partial v_{j,i}^d} \quad (8)$$

每次迭代后对得到的 $v_{j,i}^{d+1}$ 进行单位化。其中, $d$ 为迭代次数, $u$ 为步长。当满足 $d(v_{j,i}^{d+1}, v_{j,i}^d) < e_2$ 条件时,终止迭代,并令 $v_{j,i}^{\text{opt}} = v_{j,i}^d$ ,则 $v_{j,i}^{\text{opt}}$ 表示第 $j$ 次最优 $g(v)$ 时得到的最优解,且势函数 $g(v)$ 中用到的尺度参数为 $\sigma_2(i)$ 。其中, $d(v_{j,i}^{d+1}, v_{j,i}^d)$ 表示两次迭代得到的向量间的差值。 $e_2$ 为判决门限。

步骤2.4 若 $i < L$ ,将步骤2.2中得到的 $v_{j,i}^{\text{opt}}$ 作为初始值,即 $v_{j,i}^0 = v_{j,i}^{\text{opt}}$ ,回到步骤2.2,并对 $i$ 加1;否则,令 $v_{j,i}^{\text{opt}} = v_{j,i}^{\text{opt}}$ , $j=j+1$ 回到步骤2.1,这里, $v_{j,i}^{\text{opt}}$ 表示第 $j$ 次循环的最优解,即第 $j$ 次估计出的列向量。

步骤3 对估计出的列向量,若有重复的,将重复的列向量去除。

步骤4 计算各个向量的势( $g(v_{j,i}^{\text{opt}})$ 值),将势相对较小的向量去掉。剩下的向量即为混合矩阵列向量的估计。

## 3 算法仿真及分析

为了说明本文所提势函数法的有效性和优越性,下面分别进行了两次实验。混合矩阵的估计误差为 $\epsilon$ ,其计算公式 $\epsilon = \min \|\hat{A}P - A\|_2$ 。

仿真实验1 与目前主要算法的比较。实验条件为 $m=3$ ,

$n=5, k=2$ , 源信号由函数  $\text{randn}(n, T)$  产生, 采样长度  $T=2000$ , 原始混合矩阵为式(9), 无噪声和异常值影响。实验重复 100 次。计算混合矩阵估计误差的平均值。文献[13]提到的势函数方法也是一种比较新的势函数方法, 称之为平面聚类势函数法, 这里也加入对比中。表 1 为 5 种方法估计精度的比较。 $\bar{\epsilon}$  表示 100 次混合矩阵估计误差的平均值。

$A =$

$$\begin{bmatrix} 0.552\ 5 & 0.391\ 9 & 0.570\ 7 & 0.393\ 4 & 0.690\ 4 \\ 0.686\ 3 & -0.606\ 6 & 0.516\ 6 & 0.863\ 4 & -0.600\ 7 \\ 0.473\ 0 & 0.691\ 7 & -0.638\ 3 & -0.315\ 8 & 0.403\ 2 \end{bmatrix}$$

(9)

表 1 5 种方法估计精度的比较

方法	估计参数 势函数法	RCA	k-plane	k 维子 空间法	平面聚类 势函数法
$\bar{\epsilon}$	0.001 5	0.0568	0.201 8	0.005 9	0.011 7

通过表 1 可以看出, 估计参数势函数法估计混合矩阵的误差仅为 0.001 5, 混合矩阵的估计已相当精确。和  $k$  维子空间法相比较, 混合矩阵估计误差减小了 75%, 估计精度大幅提高。这是因为估计参数势函数法在选取尺度参数时, 充分利用了信号本身的统计特性, 根据观测信号来估计尺度参数, 因而所取的尺度参数更加合适, 从而矩阵估计精度得到提高。和目前其他主要的方法相比, 矩阵估计精度有 1~2 个数量级的提高。

在复杂度方面, 由于估计参数势函数法和  $k$  维子空间法相比, 增加了参数估计部分, 而参数估计复杂度很低, 所以估计参数势函数法和  $k$  维子空间法在复杂度方面基本相同。平面聚类势函数法作为一种势函数法, 复杂度和估计参数势函数法基本相同。总体来说, 势函数法的复杂度一般。对于 RCA, 由于其采用了模糊分类, 迭代次数很多, 复杂度比本文高很多。 $k$ -plane 法原理简单, 步骤简洁, 计算量比本文要小, 但是估计精度太低。复杂度情况如表 2 所示。

表 2 5 种方法复杂度的比较

方法	估计参数 势函数法	RCA	k-plane	k 维子 空间法	平面聚类 势函数法
复杂度	一般	较高	较低	一般	一般

**仿真实验 2** 本文方法是在  $k$  维子空间法基础上改进的, 并且从仿真实验 1 可以看出, 本文方法和  $k$  维子空间法估计性能较好, 下面主要针对这两种方法进行进一步的仿真。仿真条件如下:  $m=3, n=4, k=2$ , 源信号由函数  $\text{randn}(n, T)$  产生, 采样长度  $T=2000$ , 原始混合矩阵如式(10), 所加噪声为高斯噪声, 信噪比(signal noise ratio, SNR)为 16~32 dB。每个信噪比下实验重复 100 次, 计算矩阵估计误差的均值。图 2 为矩阵估计误差随信噪比变化曲线, 图 3 为源信号个数估计正确率随信噪比的变化情况。

$$A = \begin{bmatrix} 0.454\ 5 & -0.791\ 2 & 0.663\ 4 & -0.456\ 8 \\ 0.454\ 5 & 0.212\ 0 & -0.383\ 0 & -0.791\ 2 \\ 0.766\ 0 & 0.573\ 6 & 0.642\ 8 & 0.406\ 7 \end{bmatrix} \quad (10)$$

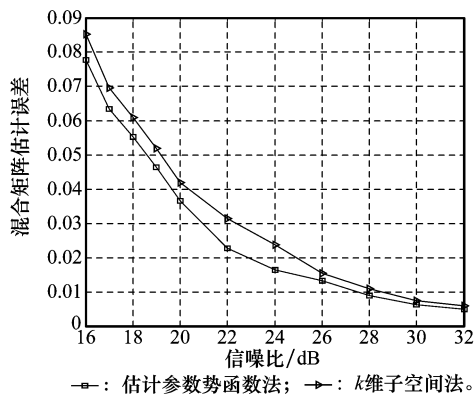


图 2 估计误差随信噪比变化情况

通过图 2 可以看出, 在不同信噪比下, 估计参数势函数法混合矩阵估计误差性能均优于  $k$  维子空间法, 如当信噪比为 16 dB 时, 利用估计参数势函数法的混合矩阵估计精度比利用  $k$  维子空间法的提高了 8.7%。

从图 3 来看, 当信噪比较高时, 两种方法均能准确地估计出源信号的个数, 但是当信噪比较低时, 估计参数势函数法在源信号个数估计方面准确率明显高于  $k$  维子空间法, 比如, 在信噪比为 16 dB 时, 利用估计参数势函数法的源信号估计准确率比利用  $k$  维子空间法的高出了一倍。

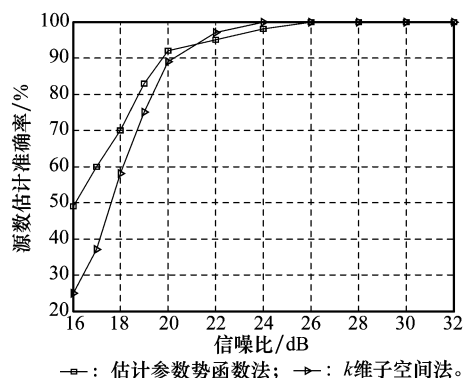


图 3 源数估计准确率随信噪比变化情况

## 4 结 论

对于非充分稀疏欠定盲分离中的混合矩阵估计问题, 本文提出了一种基于估计参数势函数的方法。 $k$  维子空间法中, 尺度参数为随机选取, 凭经验而得, 缺乏指导性。本文方法结合观测信号特性, 估计尺度参数, 使得混合矩阵估计精度和源数估计准确率得到大幅提高。实验证明了在没有增加复杂度的情况下, 基于估计参数势函数法的有效性和鲁棒性。

## 参考文献:

- [1] Thiagarajan J J, Ramamurthy N R, Spanias A. Mixing matrix estimation using discriminative clustering for blind source separation[J]. *Digital Signal Processing*, 2013, 23(1):9-18.
- [2] Wang R J, Zhan Y J, Zhou H F. A method of underdetermined blind source separation in time-domain[J]. *International Journal of Electronics*, 2012, 99(4): 543-555.
- [3] Xiao M, Xie S L, Fu Y L. Underdetermined blind separation algorithm based the hyperplane law vector [J]. *Journal of Automation*, 2008, 34(2):142-149. (肖明, 谢胜利, 傅予力. 基于超平面法矢量的欠定盲信号分离算法[J]. 自动化学报, 2008, 34(2):142-149.)
- [4] Xie S L, Tan B H, Fu Y L. Underdetermined blind separation based on plane clustering [J]. *Progress in Natural Science*, 2007, 17(6):795-800. (谢胜利, 谭北海, 傅予力. 基于平面聚类算法的欠定混叠盲信号分离[J]. 自然科学进展, 2007, 17(6):795-800.)
- [5] Bradley P S, Mangasarian O L.  $k$ -plane clustering[J]. *Journal of Global Optimization*, 2000, 16(1): 23-32.
- [6] Georgiev P, Theis F J, Cichocki A. Sparse component analysis and blind source separation of underdetermined mixtures[J]. *IEEE Trans. on Neural Networks*, 2005, 16(4):992-996.
- [7] ashizawa Y, Cichocki A. On-line  $k$ -plane clustering learning algorithm for sparse component analysis[C] // *Proc. of the IEEE International Conference on Acoustics, Speech and Signal Processing*, 2006:681-684.
- [8] Zhang Y. Blind source separation of under-determined mixtures[D]. Shanghai: Shanghai University, 2009. (张烨. 欠定混合信号的盲分离. [D]. 上海:上海大学, 2009.)
- [9] Frigui H, Krishnapuram R. A robust competitive clustering algorithm with applications in computer vision [J]. *IEEE Trans. on Pattern Analysis Machine Intelligence*, 1999, 21(5): 450-465.
- [10] Zhang Y, Fang Y. A NMF algorithm for blind separation of uncorrelated signals [C] // *Proc. of the International Conference on Wavelet Analysis and Pattern Recognition*, 2007: 999-1003.
- [11] Zhao Z J, Lu H, Shang J N. Underdetermined blind separation based on constrained NMF [J]. *Study on the Application of Computer*, 2011, 28(5): 1843-1845. (赵知劲, 卢宏, 尚俊娜. 基于约束 NMF 的欠定盲信号分离算法[J]. 计算机应用研究, 2011, 28(5):1843-1845.)
- [12] Naini F M, Mohimani G H, Babaie-Zadeh M, et al. Estimating the mixing matrix in sparse component analysis(SCA) based on partial  $k$ -dimensional subspace clustering [J]. *Neurocomputing*, 2008, 71:2330-2343.
- [13] Zhang Y, Fang Y. Underdetermined blind separation based on plane clustering potential function[J]. *High Technology Letters*, 2010, 8:810-815. (张烨, 方勇. 基于平面聚类势函数法的欠定混合信号盲分离[J]. 高技术通讯, 2010, 8:810-815.)
- [14] Chen Y Q, Wang H X. A robust method for mixing matrix estimation in blind source separation[J]. *Journal of Electronics & Information Technology*, 2012, 34(9): 2039-2044. (陈永强, 王宏霞. 一种强鲁棒性的盲分离混合矩阵估计方法[J]. 电子与信息学报, 2012, 34(9):2039-2044.)
- [15] Dong T B, Lei Y K, Yang J S. An algorithm for underdetermined mixing matrix estimation[J]. *Neurocomputing*, 2008, 104:26-34.

## 作者简介:

付卫红(1979-),女,副教授,博士研究生,主要研究方向为宽带无线通信、通信信号处理。

E-mail:whfu@mail.xidian.edu.cn

李爱丽(1989-),通信作者,女,硕士,主要研究方向为欠定盲源分离。

E-mail:1211817343@qq.com

马丽芬(1989-),女,硕士,主要研究方向为跳频信号欠定盲分离。

E-mail:470631920@qq.com

黄坤(1988-),男,硕士,主要研究方向为多用户检测、通信信号处理。

E-mail:huangkun0824@qq.com

严新(1988-),男,硕士,主要研究方向为欠定盲源分离。

E-mail:451698985@qq.com